



БИООРГАНИЧЕСКАЯ ХИМИЯ

том 2 * № 11 * 1976

УДК 547.9:542.953.2

СИНТЕЗ ОЛИГО- И ПОЛИНУКЛЕОТИДОВ

XVI. СИНТЕЗ ФРАГМЕНТОВ 59—70 и 71—77 СТРУКТУРНОГО ГЕНА
ВАЛИНОВОЙ тРНК ДРОЖЖЕЙ *

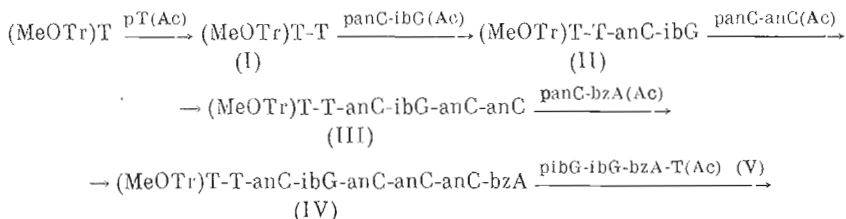
*Берлин Ю. А., Ефицов В. А., Колосов М. Н.,
Чахмажчева О. Г., Шингарова Л. Н.*

*Институт биоорганической химии им. М. М. Шемякина
Академии наук СССР, Москва*

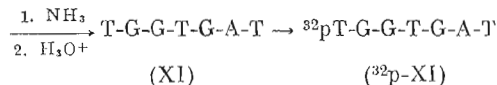
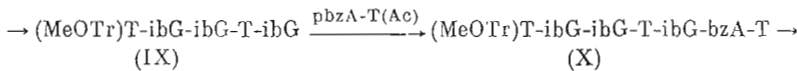
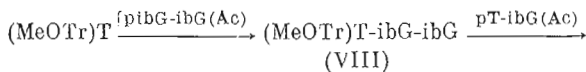
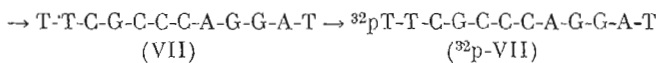
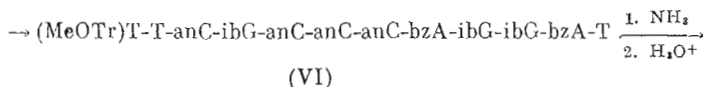
Осуществлен химический синтез додекадезоксирибонуклеотида T-T-C-G-C-C-A-G-G-A-T и гептадезоксирибонуклеотида T-G-G-T-G-A-T, комплементарных участкам 59—70 и 71—77 валиновой тРНК дрожжей.

В развитие работы по получению фрагментов структурного гена валиновой тРНК дрожжей мы предприняли химический синтез двух сегментов значащей цепи этого гена — гептадезоксирибонуклеотида T-G-G-T-G-A-T (XI), комплементарного 3'-концевому участку 71—77, и додекадезоксирибонуклеотида T-T-C-G-C-C-A-G-G-A-T (VII), комплементарного смежному участку 59—70 молекулы тРНК^{Val}.

Исходным веществом в обоих синтезах служил 5'-О-монометокситримитидин. Первым этапом синтеза додекануклеотида (VII) было взаимодействие метокситримитидина с ацетатом тимидиловой кислоты с образованием динуклеозидмонофосфата (I). Дальнейшее наращивание олигонуклеотидной цепи проводилось динуклеотидными блоками вплоть до стадии октануклеотида (IV), который был превращен в конечное соединение (VI) конденсацией с ацетатом тетрануклеотида (V). Первые два вещества в этой цепи превращений — (I) и (II) — выделяли с помощью избирательной экстракции органическими растворителями, а на последующих стадиях использовали анионообменную хроматографию.



* Сообщение XV см. [1]. Использованы следующие нестандартные сокращения: TPS — 2,4,6-триизопропилбензолсульфохлорид, TEAB — бикарбонат триэтиламмония. Все упоминаемые в этой статье нуклеотиды принадлежат к дезоксирияду, поэтому префикс d ради краткости всегда опущен, т. е. A — дезоксиаденоин, C — дезоксицитидин, G — дезоксигуапозин, T — тимидин.



При получении гептануклеотида (XI) цепь строилась последовательным присоединением к метокситритилтимидину динуклеотидных блоков. Тринуклеотид (VIII) выделяли экстракцией, причем переход от нуклеозида сразу к значительно более гидрофильному тримеру делает экстракционный метод выделения особенно эффективным. При получении пентануклеотида (IX) непрореагировавший тринуклеотид (VIII) отделяли экстракцией, а для выделения продукта конденсации (IX) использовали анионообменную хроматографию. После удаления защитных групп конечные додекануклеотид (VII) и гептануклеотид (XI) дополнительно очищали хроматографией в нейтральном и кислом растворе мочевины.

Структуры промежуточных и конечных соединений были доказаны последовательным сопоставлением спектральных характеристик и нуклеотидного состава (см. таблицу), а также с помощью нуклеотидных карт.

Экспериментальная часть

Общие сведения об эксперименте см. [2]. В работе использованы мононуклеотиды производства СКТБ БАВ Главмикробиопрома (Новосибирск), динуклеотид panC-anC производства НИС Новосибирского университета, [γ - ^{32}P] ATP (Amersham), ацетилцеллюлоза (Schleicher und Schüll), целлюлоза MN-300 (Serva), DEAE-целлюлоза DE-23 (для колоночной хроматографии) и DE-41 (для гомохроматографии) фирмы Whatman, DEAE-сефадекс A-25 (Pharmacia), фосфодиэстераза змеиного яда (КФ 3.4.1) фирмы Worthington. T4-Полинуклеотидкиназа (КФ 2.7.1.78) была любезно предоставлена М. Ф. Шемякиным и А. В. Честухиным (Москва). Хроматографию на бумаге Ватман № 1 проводили в системах EtOH — 1 М AcONH₄, 7 : 3; pH 7,5 (A) и n-PrOH — конц. NH₃—H₂O, 11 : 2 : 7 (B), TCX — на пластинках Silufol UV₂₅₄ в водном ацетонитриле. N-Заданные группы удаляли обработкой 25% водным NH₃ (2 мл на 20 ОЕ олигонуклеотида, 5 сут при 20°) с последующим упариванием и хроматографией в системе B. Для удаления монометокситритильной группы олигонуклеотиды, лишенные N-заданных групп, обрабатывали смесью уксусная кислота — пиридин — вода, 14 : 1 : 3 (5 мл на 20 ОЕ олигонуклеотида, 36 ч при 20°), раствор упаривали и хроматографировали в системе B. Нуклеотидный состав полученных веществ определяли ферментативным гидролизом, как описано ранее [3]. Характеристики полученных олигонуклеотидов приведены в таблице.

1. (MeOTr) T-T (I). Смесь 2,0 г (3,9 ммоль) (MeOTr) T [4] и 3,53 г (8,0 ммоль) pT(Ac) высушали трехкратным упариванием с пиридином, затем

Олигонуклеотид	R _{dpt} в системе			УФ-характеристики				Нуклеотидный состав				
	A	B	λ _{Макс.} , нм	$\frac{\varepsilon_{360}}{\varepsilon_{260}}$	$\frac{\varepsilon_{270}}{\varepsilon_{260}}$	$\frac{\varepsilon_{360}}{\varepsilon_{250}}$	$\frac{\varepsilon_{270}}{\varepsilon_{250}}$	dT	dP _T	dP _G	dP _C	dP _A
(MeOTr)T-T (I)	2,0	1,3	267									
T-T	1,7	0,95	[263, 310] _п	0,85	1,01	0,88	0,72	1,0	1,0			
(MeOTr)T-T-anC-ibG (II)			262	0,86	0,98	0,74	0,31	1,02	0,99	1,0	0,92	
T-T-C-G	1,3		275, 300] _п	0,82	1,10	1,42	1,06					
(MeOTr)T-T-anC-ibG-anC-anC (III)		0,60	268	0,85	1,05	0,81	0,37	0,95	0,95	1,0	3,3	
T-T-C-G-C-C			283	0,84	1,11	1,22	1,19					
(MeOTr)T-T-anC-ibG-anC-anC-anC-bzA (IV)	0,60	0,25	266	0,85	0,96	0,68	0,28	0,97	1,0	0,85	4,2	1,1
T-T-C-G-C-C-A			262, 278	0,84	0,91	0,90	0,66					
pibG-ibG-bzA-T (V)	0,82	0,38	256	0,96	0,78	0,52	0,24					
pG-G-A-T		0,10	260	0,92	0,92	0,67	0,33					
T-T-C-G-C-C-C-A-G-G-A-T (VI)			261	0,88	0,88	0,76	0,57					
MeOTr)T-ibG-ibG (VIII)	1,9	1,05	258	0,83	0,83	0,72	0,49					0,9
T-G-G			258	0,83	0,93	0,78	0,54					2 *
(MeOTr)T-ibG-ibG-T-ibG (IX)	1,5		257	0,95	0,88	0,66	0,33					4 *
T-G-G-T-G		0,65										
(MeOTr)T-ibG-ibG-T-ibG-bzA-T (X)	1,2	0,45	264, 278] _п	0,85	0,96	0,87	0,63	0,85	1,0	3,2		
T-G-G-T-G-A-T (XI)			258	0,93	0,86	0,64	0,36	2 *	3 *			1 *

* Определено на основании нуклеотидной карты, рис. 5

прибавили 25 мл пиридина и 6,08 г (20 ммоль) TPS и выдержали 5 ч при 20°. Реакционную смесь при —20° обработали 12 мл трибутиламина в 30 мл пиридина и 30 мл воды, оставили на 20 ч при 4° и упарили досуха. Остаток растворили в 150 мл 0,1 М TEAB и последовательно проэкстрагировали эфиром (4×150 мл), этилацетатом (2×100 мл) и смесью этилацетат — бутанол, 9 : 1 (4×100 мл), контролируя ход извлечения с помощью ТСХ. Объединенные экстракты, содержащие бутанол, упарили досуха, остаток при 0° растворили в 100 мл смеси EtOH — Py — 2 н. NaOH, 2 : 1 : 3, и выдержали 10 мин при 0°. Растворнейтрализовали дауэксом-50 (PyH⁺), смолу отфильтровали и промыли 50% пиридином, фильтрат упарили с пиридином и остаток осадили из пиридина эфиром. Выход динуклеозидмонофосфата (I) 2,58 г (75%). Водный слой после экстракции упарили с пиридином и остаток осадили из пиридина эфиром; возврат рТ 40%.

2. (*MeOTr*)T-T-anC-ibG (II) получен взаимодействием 2 г (2,2 ммоль) (*MeOTr*)T-T, 1 г (1,0 ммоль) panC-ibG(Ac) [5] и 1,2 г (4,0 ммоль) TPS в 6 мл пиридина в условиях опыта 1. Экстрагировали из 100 мл 0,1 М TEAB последовательно эфиром (3×100 мл), этилацетатом (2×100 мл), смесью этилацетат — бутанол, 17 : 3 [2×100 мл; возврат (I) 40%] и смесью хлористый метилен — бутанол, 7 : 3 (3×100 мл). Из водного раствора выделили panC-ibG (возврат 24%). Объединенные экстракты, содержащие хлористый метилен, досуха упарили с пиридином, остаток растворили в 5 мл спирта и 5 мл пиридина и обработали 10 мл 2 н. NaOH (15 мин при 0°). Посленейтрализации и осаждения (см. опыт 1) получили 1,2 г (63%) тетрануклеотида (II).

3. (*MeOTr*)T-T-anC-ibG-anC-anC (III) получен взаимодействием 0,7 г (0,4 ммоль) (*MeOTr*)T-T-anC-ibG (II), 1,8 г (1,8 ммоль) panC-anC(Ac) (перед использованием динуклеотид хроматографировали на DEAE-целлюлозе в TEAB) и 2 г (6,5 ммоль) TPS в 15 мл пиридина в течение 5 ч при комнатной температуре. Реакцию прекращали добавлением при —20° равного объема воды. Через 20 ч при 0° реакционную смесь обработали 30 мл 2 н. NaOH (15 мин),нейтрализовали дауэксом-50 (PyH⁺), смолу отфильтровали, фильтрат нанесли на колонку с DEAE-целлюлозой (HCO₃⁻, 2,5 × 40 см), предварительно уравновешенную 0,05 М TEAB, и хроматографировали в TEAB (1,3 л 0,3 М в воде; 0,5 л 0,05 М в воде; 2 л 0,05 М — 2 л 0,5 М в 40% спирте), собирая фракции по 12 мл/7 мин. Фракции 292—321 объединили, упарили с пиридином и остаток осадили из пиридина эфиром. Выход гексануклеотида (III) 10 500 OE₂₈₀ (35%); возврат panC-anC 82%.

4. (*MeOTr*)T-T-anC-ibG-anC-anC-anC-bzA (IV) получен взаимодействием 0,28 г (0,08 ммоль) гексануклеотида (III), 0,6 г (0,6 ммоль) panC-bzA(Ac) [6] и 0,55 г (1,8 ммоль) TPS в 4 мл пиридина в условиях опыта 3. Хроматографировали на колонке с DEAE-целлюлозой (HCO₃⁻, 2 × 35 см) в градиенте концентрации TEAB и спирта (1 л 0,1 М TEAB в 10% спирте — 1 л 0,6 М в TEAB в 40% спирте), собирая фракции по 10 мл/5 мин. Из фракций 155—180 выделили 5000 OE₂₈₀ (47%) октануклеотида (IV); возврат panC-bzA 48%. Октануклеотид рехроматографировали на колонке с DEAE-целлюлозой (HCO₃⁻, 1,5 × 25 см) в градиенте концентрации TEAB в 40% спирте (0,05—0,6 М, 1 л), собирая фракции по 8 мл/4 мин. Из фракций 70—90 выделили 3200 OE₂₈₀ вещества.

5. pbzA-T получен конденсацией 3 г (5,3 ммоль)(CNEt)pbzA и 6 г (13,6 ммоль) pT(Ac) в присутствии 9,15 г (30 ммоль) TPS в 40 мл пиридина по методике опыта 3. Хроматографировали на колонке с DEAE-цефадекском (HCO₃⁻, 2,5 × 50 см) в линейном градиенте концентрации TEAB в 10% спирте (0,05—0,45 М, 7 л), собирая фракции по 35 мл/10 мин. Из фракций 180—208 выделили 76 000 OE₂₈₀ pbzA-T (57%), возврат рТ 65%.

6. pibG-ibG-bzA-T (V) получен взаимодействием 0,43 г (0,4 ммоль) (CNEt)pibG-ibG [5], 0,45 г (0,45 ммоль) pbzA-T(Ac) и 0,6 г (2,0 ммоль) TPS в 5 мл пиридина в условиях опыта 3. Хроматографировали на колонке

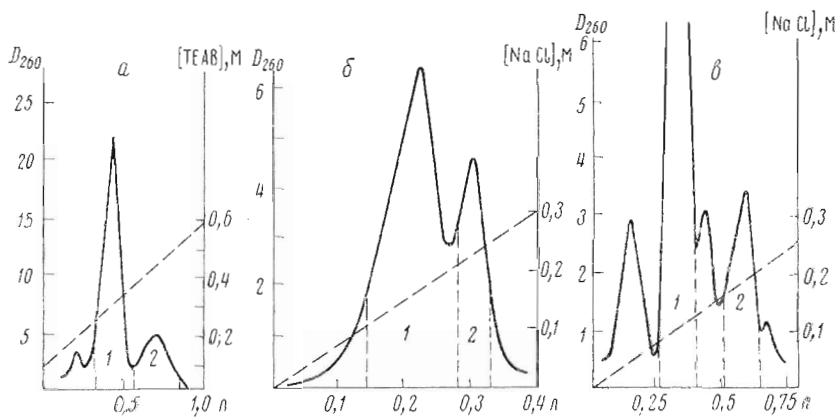


Рис. 1. Выделение защищенных олигонуклеотидов (VI) и (X): *а* — выделение додекануклеотида (VI) хроматографией на колонке с DEAE-целлюлозой (HCO_3^- , $1 \times 20 \text{ см}$) в линейном градиенте концентрации TEAB в 30% спирте, скорость элюции 120 мл/ч. Пик 1 содержит 3000 OE_{260} тетрануклеотида (V), пик 2 (1000 OE_{260}) содержит додекануклеотид (VI); *б* — рехроматография вещества из пика 2 (рис. 1а) на колонке с DEAE-целлюлозой (Cl^- , $1.5 \times 30 \text{ см}$) в линейном градиенте концентрации NaCl в 7 М мочевине и 0,01 М трис- HCl , рН 7,5, скорость элюции 75 мл/ч. Пик 1 (580 OE_{260}) содержит смесь октануклеотида (IV) и нирофосфата тетрануклеотида (V), пик 2 содержит 170 OE_{260} додекануклеотида (VI); *в* — выделение гептапууклеотида (X) хроматографией на колонке с DEAE-целлюлозой (Cl^- , $1.5 \times 30 \text{ см}$) в линейном градиенте концентрации NaCl в 7 М мочевине и 0,02 М трис- HCl , рН 7,5, скорость элюции 105 мл/ч. Пик 1 содержит 1300 OE_{260} динуклеотида pbzA-T, пик 2 содержит 270 OE_{260} гептапууклеотида (X)

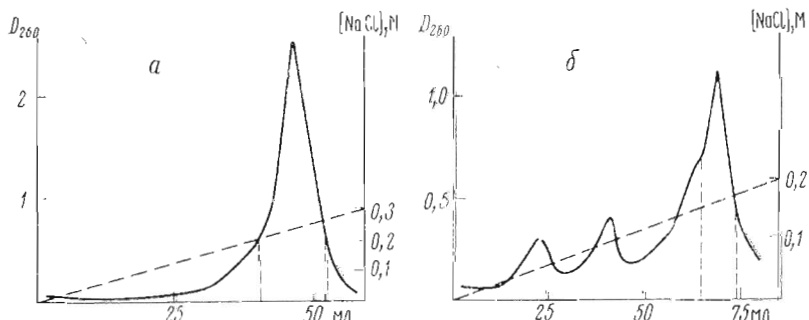


Рис. 2. Выделение додекануклеотида (VII) и гептапууклеотида (XI) хроматографией на колонке с DEAE-целлюлозой (Cl^- , $0.5 \times 3 \text{ см}$) в линейном градиенте концентрации NaCl в 7 М мочевине и 0,01 М трис- HCl , рН 7,5: *а* — выделение додекануклеотида (VII); скорость элюции 14 мл/ч, центральная часть пика содержит 25 OE_{260} ; *б* — выделение гептапууклеотида (XI); скорость элюции 36 мл/ч, центральная часть основного пика содержит 10 OE_{260}

с DEAE-целлюлозой (HCO_3^- , $2 \times 30 \text{ см}$) в линейном градиенте концентрации TEAB в 10% спирте (0,05—0,4 М, 2 л), собирая фракции по 8 мл/6 мин. Из фракций 140—175 выделили 4300 OE_{270} (22%) тетрануклеотида (V). Возврат pbzA-T 20%.

7. (*MeOTr*)*T-T-anC-ibG-anC-anC-anC-bzA-ibG-ibG-bzA-T* (VI) получен взаимодействием 500 OE_{280} (6 мкмоль) октануклеотида (IV), 150 мг (75 мкмоль) 3'-О-ацетата тетрануклеотида (V) и 80 мг (260 мкмоль) TPS в 2 мл пиридицина в условиях опыта 3. Условия хроматографии додекануклеотида (VI) приведены на рис. 1, *а*; возврат тетрануклеотида (V) 45%. Додекануклеотидную фракцию (пик 2) рехроматографировали (см. рис. 1, *б*), выход соединения (VI) 250 OE_{260} (30%). Фракции,

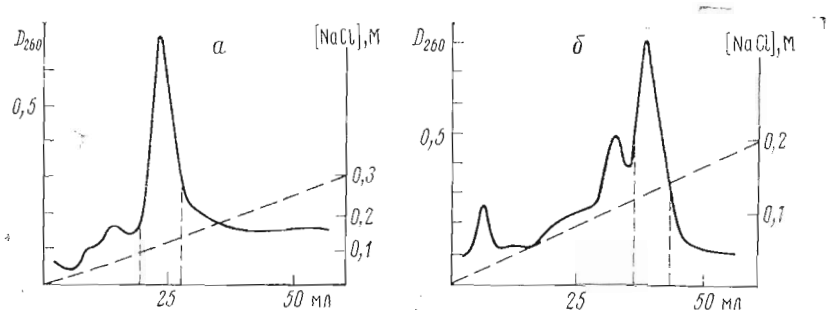


Рис. 3. Рехроматография додекануклеотида (VII) и гептануклеотида (XI) на колонке с DEAE-целлюлозой (Cl^-) в линейном градиенте концентрации NaCl в 7 М мочевине, рН 3,5: *а* — додекануклеотид (VII); колонка $0,5 \times 3$ см, скорость элюции 40 мл/ч , центральная часть основного пика содержит 4 ОЕ_{260} ; *б* — гептануклеотид (XI); колонка $0,2 \times 3$ см, скорость элюции 30 мл/ч , центральная часть основного пика содержит 5 ОЕ_{260}

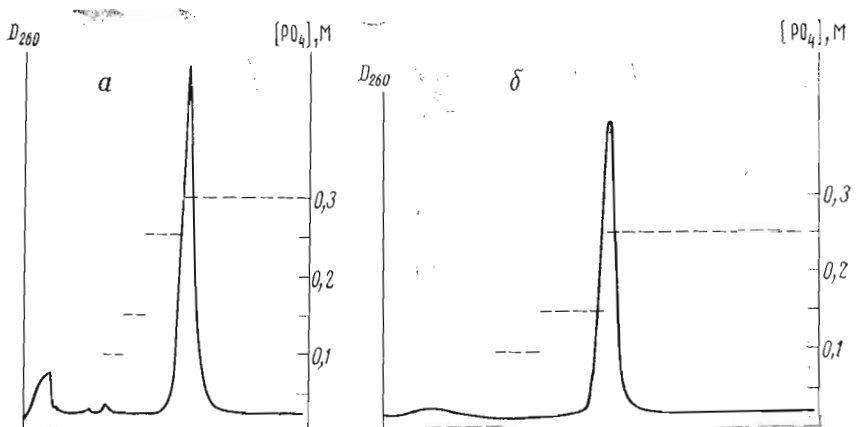
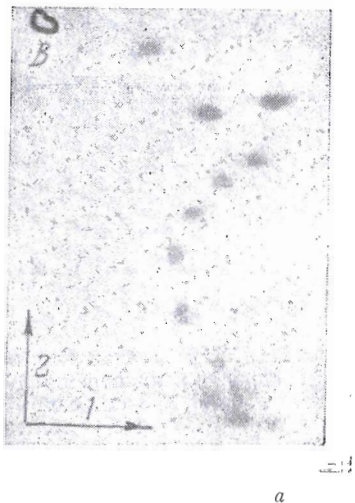


Рис. 4. Микроколоничная хроматография (данные В. П. Демушкина) на DEAE-целлюлозе ($0,65 \times 60$ мм) в ступенчатом градиенте концентрации Na -фосфатного буфера, рН 3,5 (объем градиента $600 \mu\text{l}$) при 60° , запись на МСФП-1 при 260 нм (1 ОЕ/шкала): *а* — додекануклеотид (VII); скорость элюции $82 \text{ } \mu\text{l/ч}$; *б* — гептануклеотид (XI); скорость элюции $330 \text{ } \mu\text{l/ч}$

содержащие додекануклеотид, разбавили в 3 раза водой и нанесли на колонку с DEAE-целлюлозой (HCO_3^- , $2,5 \times 5$ см). Колонку промыли 500 ml 0,05 М ТЕАВ, затем нуклеотид элюировали 50 ml 1 М ТЕАВ, элюат несколько раз упарили со спиртом до полного удаления триэтиламина и остаток растворили в 20 ml 0,01 М трис- HCl , рН 7,5.

8. *T-T-C-G-C-C-C-A-G-G-A-T* (VII). 40 ОЕ_{260} додекануклеотида (VII) обработали 3 ml 25% водн. NH_3 (5 сут при 20°), упарили досуха, прибавили 2 мл смеси $\text{AcOH} - \text{Py} - \text{H}_2\text{O}$, $14 : 1 : 3$, и оставили на 24 ч при 20° . Раствор упарили, остаток растворили в 7 М мочевине, содержащей 0,01 М трис- HCl (рН 7,5), и хроматографировали на колонке с DEAE-целлюлозой (Cl^-) (рис. 2, *a*). Выход додекануклеотида (VII) 25 ОЕ_{260} . Часть вещества (7 ОЕ_{260}) рехроматографировали на колонке с DEAE-целлюлозой (Cl^-) в градиенте концентрации NaCl в 7 М мочевине при рН 3,5 (рис. 3, *a*). Центральную часть пика (4 ОЕ_{260}) обессолили, как описано в опыте 7, и вещество растворили в $0,4 \text{ ml}$ 0,01 М трис- HCl , рН 7,5. На рис. 4, *a* приведена кривая микроколоничной хроматографии додекануклеотида (VII).



a



b

Рис. 5. Двухмерное разделение продуктов частичного гидролиза меченых олигонуклеотидов ($^{32}\text{p-VII}$) и ($^{32}\text{p-XI}$) фосфодиэстеразой змеиного яда: направление 1 — электрофорез на ацетилцеллюлозе при pH 3,5, направление 2 — томохроматография на DEAE-целлюлозе, В — пятно ксиленцианола FF. *a* — додекануклеотид ($^{32}\text{p-VII}$), *b* — пентануклеотид ($^{32}\text{p-XI}$)

9. $^{32}\text{p-T-T-C-G-C-C-C-A-G-G-A-T}$ ($^{32}\text{p-VII}$) получен взаимодействием 0,1 ОЕ₂₆₀ (1 нмоль) додекануклеотида (VII), 3 нмоль, (14 мкКи) [γ - ^{32}P]ATP и 8 мкл Т4-полициклоидкиназы (фракция VI [7]) в растворе, содержащем 0,01 М MgCl₂, 0,005 М меркаптоэтанол и 0,05 М трис-HCl, pH 7,5 (общий объем инкубационной смеси 30 мкл), и выделен гель-фильтрацией на колонке с сефадексом G-50 (сверхтонкий; 0,5 × 30 см; 0,05 М ТГАВ в качестве элюента). Фракции, отвечающие $^{32}\text{p-VII}$ ($8 \cdot 10^6$ имп/мин), объединили и лиофилизовали, остаток растворили в 30 мкл буфера, содержащего 1 mM MgCl₂ и 10 mM трис-HCl, pH 8,9.

10. Частичный гидролиз $^{32}\text{p-T-T-C-G-C-C-C-A-G-G-A-T}$ ($^{32}\text{p-VII}$). 2 мкл раствора меченого додекануклеотида ($^{32}\text{p-VII}$) смешали с 1 мкл раствора суммарной тРНК (1 мг/мл) и полученнную смесь разделили на три равные части, к каждой из которых прибавили 1 мкл раствора фосфодиэстеразы змеиного яда (в том же буфере, что и нуклеотид) с концентрацией фермента 100, 200 и 400 мкг/мл. Пробы инкубировали 30 мин при 20° и смешали, после чего проводили электрофорез на ацетилцеллюлозе (длина

полоски 55 см, 1 ч при 5000 В, пиридин-ацетатный буфер, рН 3,5) и гомохроматографию в тонком слое DEAE-целлюлозы (длина 20 см, 2% гомосмесь [8]) во взаимно перпендикулярных направлениях. Радиоавтограмма полученной нуклеотидной карты (пленка РТ-1, экспозиция 4 ч) приведена на рис. 5, а.

11. (*MeOTr*)*T-ilG-ilG* (*VIII*) получен взаимодействием 1,52 г (2,95 ммоль) (*MeOTr*)*T*, 0,30 г (0,295 ммоль) *ribG-ilG(Ac)* [5] и 0,35 г (1,15 ммоль) TPS в 7 мл пиридина в условиях опыта 2. Тринуклеозиддифосфат (*VIII*) извлекли смесью хлористый метилен — бутанол, 3 : 7. Выход 175 мг (40%); возврат (*MeOTr*)*T* 80%.

12. (*MeOTr*)*T-ilG-ilG-T-ilG* (*IX*) получен взаимодействием 180 мг (0,12 ммоль) (*MeOTr*)*T-ilG-ilG* (*VIII*), 490 мг (0,5 ммоль) *pT-ilG(Ac)* [5] и 500 мг (2,0 ммоль) мезитиленсульфонилимидазолида [9] в 4 мл пиридина в течение 4 суток при 20°. Реакционную смесь разложили прибавлением равного объема воды, затем обработали 8 мл 2 н. NaOH (10 мин при 0°), нейтрализовали дауэксом-50 (РуН⁺), смолу отфильтровали, фильтрат упарили досуха, остаток растворили в 50 мл 0,05 М TEAB и смесью хлористый метилен — бутанол, 8 : 2 (2 × 50 мл) извлекли мезитиленсульфокислоту и непрореагировавший трипуклеозиддифосфат (*VIII*). Водный слой нанесли на колонку с DEAE-целлюлозой (HCO_3^- , 2 × 30 см) и хроматографировали в TEAB (0,5 л 0,2 М в воде, 0,25 л 0,05 М в воде, 1 л 0,1 М — 1 л 0,45 М в 50% спирте), собирая фракции по 10 мл/14 мин. Из фракций 65—110 выделили 2500 ОЕ₂₆₀ пентануклеотида (*IX*); возврат *pT-ilG* 80%. После рехроматографии в 50% спирте (колонка 1,5 × 20 см; 0,05—0,45 М TEAB, 1 л) центральная часть пика (фракции 37—55) содержала 2000 ОЕ₂₆₀ (25%) пентануклеотида (*IX*).

13. (*MeOTr*)*T-ilG-ilG-T-ilG-bzA-T* (*X*) получен взаимодействием 500 ОЕ₂₆₀ (0,0075 ммоль) пентануклеотида (*IX*), 75 мг (0,08 ммоль) *pbzA-T(Ac)* и 90 мг (0,28 ммоль) TPS в 0,5 мл пиридина аналогично опыту 3. Условия хроматографии приведены на рис. 1, в. Фракции 92—112 обессолили, как описано в опыте 7. Выход гептануклеотида (*X*) 270 ОЕ₂₆₀ (38%); возврат *pbzA-T* 58%.

14. *T-G-G-T-G-A-T* (*XI*) получен из гептануклеотида (*X*) в условиях опыта 8. Кривые хроматографического разделения в 7 М мочевине при рН 7,5 и 3,5 приведены на рис. 2, б и 3, б, кривая микроколоночной хроматографии — на рис. 4, б.

15. ^{32}p *T-G-G-T-G-A-T* (^{32}p -*XI*) и его частичный гидролиз. Фосфорилирование гептануклеотида (*XI*) и его частичный гидролиз проводили аналогично опыту 9. Радиоавтограмма нуклеотидной карты приведена на рис. 5, б.

ЛИТЕРАТУРА

1. Берлин Ю. А., Карап М. З., Колосов М. Н., Коробко В. Г. (1976) Биоорган. химия, 2, 1063—1072.
2. Берлин Ю. А., Бочарова Т. Н., Вульфсон А. Н., Колосов М. Н., Коробко В. Г. (1976) Биоорган. химия, 2, 762—772.
3. Берлин Ю. А., Дьяков В. Л., Колосов М. Н. (1974) Биохимия, 39, 747—751.
4. Schaller H., Weimann G., Lerch B., Khorana H. G. (1963) J. Amer. Chem. Soc., 85, 3821—3827.
5. Берлин Ю. А., Болдырева Е. Ф., Ефимов В. А., Колосов М. Н., Коробко В. Г., Полякова И. А., Чахмахчева О. Г., Чупрунова О. А. (1973) Химия природных соедин., 402—410.
6. Берлин Ю. А., Ефимов В. А., Колосов М. Н., Коробко В. Г., Шингарова Л. Н. (1975) Биоорган. химия, 1, 1738—1745.
7. Richardson C. (1965) Proc. Nat. Acad. Sci. USA, 54, 158—165.
8. Jay E., Bambara R., Padmanabhan R., Wu R. (1974) Nucleic Acids Research, 1, 331—353.
9. Берлин Ю. А., Ефимов В. А., Колосов М. Н., Коробко В. Г., Чахмахчева О. Г., Шингарова Л. Н. (1975) Биоорган. химия, 1, 1121—1129.

Поступила в редакцию
26.V.1976

SYNTHESIS OF OLIGO- AND POLYNUCLEOTIDES. XVI. THE SYNTHESIS OF THE
59-70 AND 71-77 FRAGMENTS OF THE STRUCTURAL GENE FOR
A YEAST tRNA^{Val}

BERLIN Yu. A., EFIMOV V. A., KOLOSOV M. N.,
CHAKHMAKHCHEVA O. G., SHINGAROVA L. M.

*M. M. Shemyakin Institute of Bioorganic Chemistry, Academy
of Sciences of the USSR, Moscow*

The chemical synthesis of the deoxyribonucleotides d(T-T-C-G-C-C-A-G-G-A-T) and d(T-G-G-T-G-A-T) complementary to the 5'-terminal segments 59-70 and 71-77 of the yeast tRNA₁^{Val} has been carried out by the phosphodiester approach according to the 1 + 1 + 2 + 2 + 4 and 1 + 2 + 2 + 2 schemes. Triisopropylbenzenesulphonyl chloride and mesitylenesulphonyl imidazolide were used as condensing reagents. The homogeneity of the oligonucleotides synthesized was proved by microcolumn anion-exchange chromatography, and their structure was substantiated by fingerprinting.